

УДК 621.9.06

doi: 10.18698/0536-1044-2022-9-43-53

# Динамическая диагностическая 3D-модель шпинделя шлифовального станка. Гибридный способ моделирования

**А.Г. Ширшов**

МГТУ им. Н.Э. Баумана

## Dynamic Diagnostic 3D Simulation of a Grinding Machine Spindle. Hybrid Simulation Method

**A.G. Shirshov**

Bauman Moscow State Technical University

На примере шпинделя шлифовального станка рассмотрен гибридный (численно-аналитический) способ моделирования ротора с жестким валом. Описана пространственная динамическая модель ротора с учетом асимметрии жесткости опор, построенная этим способом. Показано, что благодаря введению асимметрии жесткости опор пространственная модель позволяет объяснить ряд физических явлений, включая расщепление частоты в спектре, которые принципиально невозможно объяснить при использовании плоских осесимметричных моделей.

**Ключевые слова:** гибридный способ моделирования, пространственная динамическая модель, асимметрия жесткости опор, вибродиагностика ротора, шпиндель шлифовального станка, ротор

We use a grinding machine spindle as an example to consider a hybrid (numerical and analytical) method of simulating a rotor with a rigid shaft. The paper describes a spatial dynamic model of the rotor constructed via this method that takes into account support stiffness asymmetry. We show that introducing support stiffness asymmetry allows the spatial simulation to explain a number of physical phenomena, including spectrum frequency splitting, which are fundamentally impossible to explain when using flat axially symmetric models.

**Keywords:** hybrid simulation method, spatial dynamic model, support stiffness asymmetry, rotor vibration diagnostics, grinding machine spindle

Для моделирования динамических свойств и построения диагностических моделей роторных систем часто используют плоскую расчетную схему в виде многоопорной балки [1, 2]. Плоскую модель выбирают из допущения, что свойства реальной конструкции близки к таковым для осесимметричной модели вала на упругих опорах. В частности, предполагают, что

жесткость опор вала шпинделя не изменяется по углу поворота.

Однако эти предположения не могут быть приняты при построении диагностической модели ротора, так как его реальные опоры обладают жесткостной и диссипативной асимметрией, т. е. его жесткостные и диссипативные свойства различны по углу поворота ротора.

\* Исследование выполнено в рамках проекта № 0705-2020-0034 «Научное обоснование и разработка виброакустических методов высокого разрешения для исследования и испытаний изделий машиностроения в рамках концепции «цифровое производство».

Асимметрия приводит к явлениям, необъяснимым в рамках плоской модели.

Основным является расщепление частот на спектре. Кроме того, с ростом асимметрии уменьшается предельная амплитуда вибраций при попадании на резонансную частоту, т. е. негативный эффект от резонанса снижается. Асимметрию жесткости опоры можно учесть только в пространственной модели ротора. Соответственно, только пространственные модели пригодны для вибродиагностики ротора.

Другим распространенным подходом к решению задач динамики ротора является использование программ конечно-элементного моделирования (ANSYS, Nastran и др.). Их применение требует достаточно высокой квалификации, так как ошибочный выбор типа конечного элемента и прочих условий моделирования приведет к некорректным результатам.

Предлагаемая далее расчетная модель существенно проще для понимания, что делает использование САЕ-программ неоптимальным решением. Следует отметить, что САЕ-программа не поможет, если в ней создавать осесимметричные модели.

Рассмотрим применение гибридного способа построения диагностических моделей роторов на примере шпинделя шлифовального станка (рис. 1). При этом матрицы жесткости и инерции формируют аналитически, но с использованием правил метода конечных элементов, после чего применяют численные методы для определения собственных частот и форм колебаний и получения частотных характеристик.

Аналитическая модель позволяет определить зависимости между физическими величинами.

Численные методы используют в случаях, когда аналитические преобразования становятся слишком сложными. Сочетание аналитических и численных подходов снижает сложность гибридной модели, что упрощает понимание и анализ физических процессов и достижение прочих целей расчета.

Цель работы — показать, что для адекватной вибродиагностики ротора подходят не плоские, а пространственные осесимметричные модели, и продемонстрировать простоту и мощь гибридного способа моделирования. Предполагается, что созданные таким способом модели могут быть полезными при экспресс-диагностике роторов, в частности шпиндельных узлов станков.

### Формирование динамической модели шпинделя.

Вал 2 шпинделя шлифовальной бабки (см. рис. 1) установлен в двух гидродинамических подшипниках скольжения 3 [3]. Подшипники имеют по три одинаковых вкладыша, которые представляют собой отдельные сегменты. Вкладыши сферическими лунками опираются на винты 4 со сферическими головками, вследствие чего вкладыши самоустанавливаются по шейкам шпинделя. Эти винты имеют мелкую резьбу. Вращая винты, можно тонко регулировать зазор между сегментом и валом. На конце вала насажен шлифовальный круг 1.

Построим модель этого шпинделя. Вал шпинделя со шлифовальным кругом примем за одно абсолютно жесткое тело, вращающееся с постоянной скоростью вокруг горизонтальной оси (рис. 2). Трехсегментные упругие опоры расположены в плоскостях  $O_1x_1y_1$  и  $O_2x_2y_2$  под

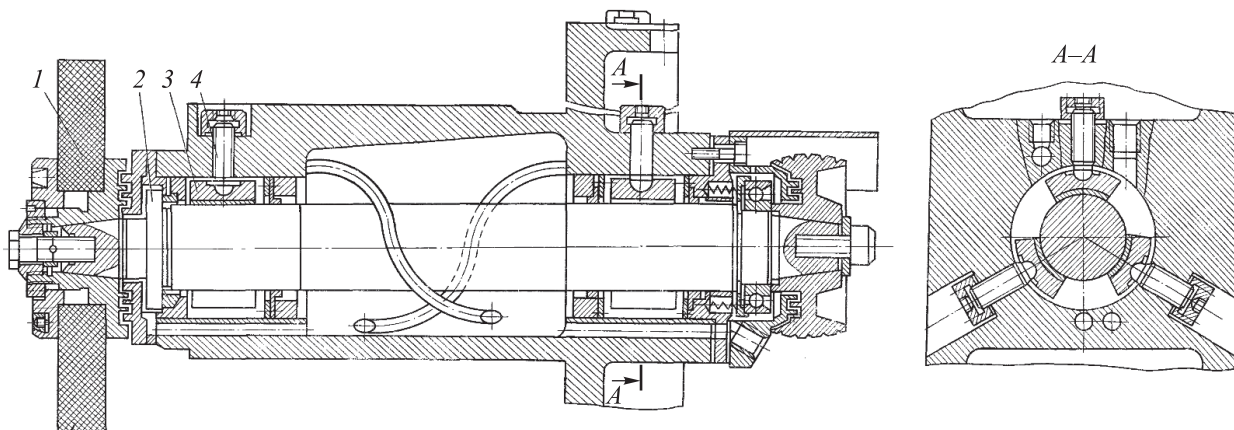


Рис. 1. Схема шлифовальной бабки шлифовального станка

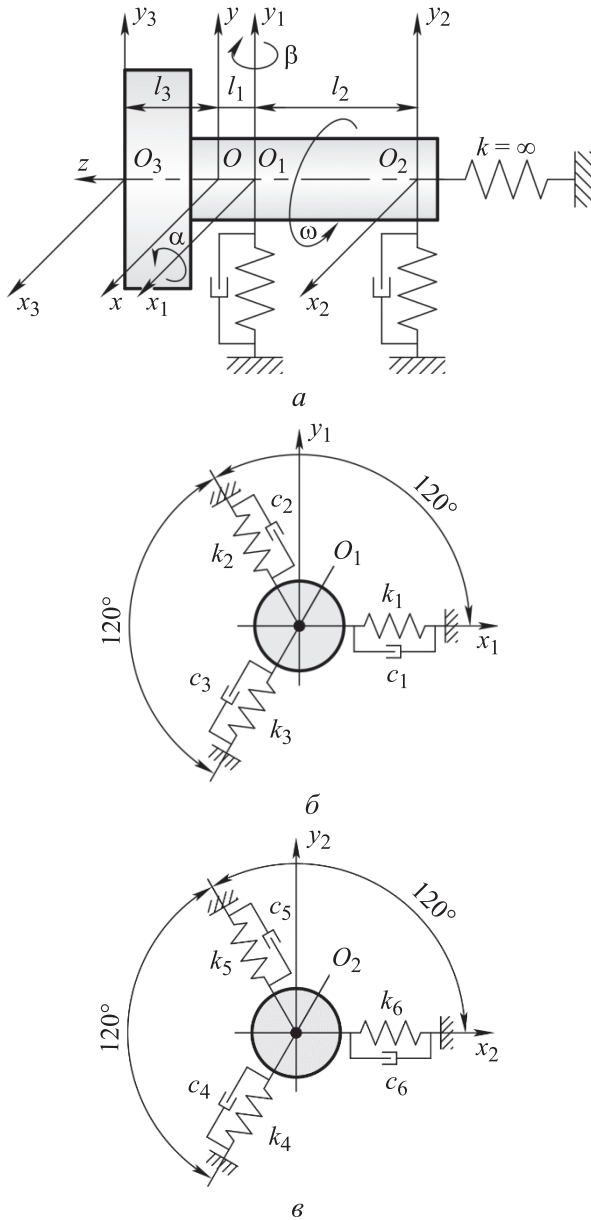


Рис. 2. Расчетные схемы абсолютно жесткого вала на упругих опорах ( $c_i$  — коэффициент демпфирования;  $i = 1, \dots, 6$ ;  $\omega$  — круговая частота вращения):  
 а — вид сбоку; б — передняя опора; в — задняя опора

углом  $120^\circ$  (рис. 2, б и в). Пусть жесткости пружин постоянны и равны  $k_i$   $i = 1, \dots, 6$ .

Будем считать, что в точке  $O$  на оси вала находится его центр масс, т. е. в ней расположена сосредоточенная масса, значение которой равно  $m$ . Моменты инерции вокруг осей  $x$  и  $y$  равны  $I_x$  и  $I_y$  соответственно. Расстояние от центра масс до передней опоры равно  $l_1$ , до задней —  $l_2$ , расстояние от переднего конца вала до центра масс —  $l_3$ .

Для исследования динамических характеристик шпинделя требуется решить задачу о соб-

ственных значениях, т. е. решить следующее уравнение:

$$[M]\{\ddot{u}\} + [K]\{u\} = 0, \quad (1)$$

где  $[M]$  — глобальная матрица инерции ротора (вала на опорах);  $\{\ddot{u}\}$  и  $\{u\}$  — вектор ускорений и перемещений рассматриваемой точки системы соответственно;  $[K]$  — глобальная матрица жесткости.

Уравнение динамики (1) составляют для одной точки. В случае вала шпинделя исследования проводят для переднего торца шпинделя — точки  $O_3$ , так как ее смещения существенно сказываются на точности обработки на станке. Соответственно, уравнение (1) составляют для точки  $O_3$ .

Коэффициенты демпфирования, рассчитанные только по справочным данным, определяются с большой погрешностью (до 50...100 %). Чтобы не терять достоверность расчетов, используют модальные коэффициенты демпфирования, получаемые при испытаниях конкретной конструкции или рассчитанные по результатам испытаний опор [4–6]. По этой причине в динамической модели нет слагаемого, связанного с вязким сопротивлением.

Для получения глобальной матрицы жесткости  $[K]$  сначала составим матричное уравнение, связывающее упругие силы реакции в опорах с упругими перемещениями в точках  $O_1$  и  $O_2$ . Примем  $u_{1x}$  и  $u_{1y}$  — перемещения точки  $O_1$  передней опоры,  $u_{2x}$  и  $u_{2y}$  — перемещения точки  $O_2$  задней опоры. Соответственно, для точки  $O_1$  упругими реакциями опор являются силы  $F_{kx1}$  и  $F_{ky1}$ , для точки  $O_2$  —  $F_{kx2}$  и  $F_{ky2}$ . Матричное уравнение, связывающее силы реакции с упругими перемещениями:

$$\begin{bmatrix} F_{kx1} \\ F_{ky1} \\ F_{kx2} \\ F_{ky2} \end{bmatrix} = \underbrace{\begin{bmatrix} k_{11}^* & k_{12}^* & k_{13}^* & k_{14}^* \\ k_{21}^* & k_{22}^* & k_{23}^* & k_{24}^* \\ k_{31}^* & k_{32}^* & k_{33}^* & k_{34}^* \\ k_{41}^* & k_{42}^* & k_{43}^* & k_{44}^* \end{bmatrix}}_{[K^*]} \begin{bmatrix} u_{x1} \\ u_{y1} \\ u_{x2} \\ u_{y2} \end{bmatrix}, \quad (2)$$

где  $[K^*]$  — глобальная матрица жесткости в координатах опор вала;  $k_{11}^* = (4k_1 + k_2 + k_3)/4$ ;  $k_{12}^* = k_{21}^* = \sqrt{3}/4 (k_3 - k_2)$ ;  $k_{22}^* = 3/4 (k_2 + k_3)$ ;  $k_{33}^* = (4k_4 + k_5 + k_6)/4$ ;  $k_{34}^* = k_{43}^* = \sqrt{3}/4 (k_6 - k_5)$ ;  $k_{44}^* = 3/4 (k_5 + k_6)$ ;  $k_{13}^* = k_{14}^* = k_{23}^* = k_{24}^* = k_{31}^* = k_{32}^* = k_{41}^* = k_{42}^* = 0$ .

Для перехода в координатную систему точки  $O_3$  необходимо составить матричное урав-

нение равновесия между упругими силами и моментами в точке  $O_3$   $M_{kx3}$ ,  $M_{ky3}$  и в точках  $O_1$  и  $O_2$ :

$$\begin{bmatrix} F_{kx3} \\ F_{ky3} \\ M_{kx3} \\ M_{ky3} \end{bmatrix} = \underbrace{\begin{bmatrix} 1 & 0 & 1 & 0 \\ 0 & 1 & 0 & 1 \\ 0 & l_1 + l_3 & 0 & l_1 + l_2 + l_3 \\ l_1 + l_3 & 0 & l_1 + l_2 + l_3 & 0 \end{bmatrix}}_{[T_k]^T} \begin{bmatrix} F_{kx1} \\ F_{ky1} \\ F_{kx2} \\ F_{ky2} \end{bmatrix}. \quad (3)$$

где  $[T_k]$  — матрица преобразования для сил упругости.

Также составим уравнение связи координат для точек  $O_1$ ,  $O_2$  и  $O_3$ :

$$\begin{bmatrix} u_{x1} \\ u_{y1} \\ u_{x2} \\ u_{y2} \end{bmatrix} = [T_k] \begin{bmatrix} u_{x3} \\ u_{y3} \\ \varphi_{x3} \\ \varphi_{y3} \end{bmatrix}. \quad (4)$$

где  $u_{x3}$ ,  $u_{y3}$  и  $\varphi_{x3}$ ,  $\varphi_{y3}$  — линейные и угловые перемещения точки  $O_3$  соответственно.

С учетом уравнений (2)–(4) глобальная матрица жесткости приобретает вид

$$[K] = [T_k]^T [K^*] [T_k] = \begin{bmatrix} k_{11} & k_{12} & k_{13} & k_{14} \\ k_{21} & k_{22} & k_{23} & k_{24} \\ k_{31} & k_{32} & k_{33} & k_{34} \\ k_{41} & k_{42} & k_{43} & k_{44} \end{bmatrix},$$

где

$$\begin{aligned} k_{11} &= k_1 + \frac{k_2}{4} + \frac{k_3}{4} + k_4 + \frac{k_5}{4} + \frac{k_6}{4}; \\ k_{21} &= k_{12} = \frac{\sqrt{3}}{4}(k_3 - k_2) + \frac{\sqrt{3}}{4}(k_6 - k_5); \\ k_{22} &= \frac{3}{4}(k_2 + k_3 + k_5 + k_6); \\ k_{31} &= k_{13} = \frac{\sqrt{3}}{4}(k_3 - k_2)(l_1 + l_3) + \\ &+ \frac{\sqrt{3}}{4}(k_6 - k_5)(l_1 + l_2 + l_3); \\ k_{32} &= k_{23} = \frac{3}{4}(k_2 + k_3)(l_1 + l_3) + \\ &+ \frac{3}{4}(k_5 + k_6)(l_1 + l_2 + l_3); \end{aligned}$$

$$\begin{aligned} k_{33} &= \frac{3}{4}(k_2 + k_3)(l_1 + l_3)^2 + \\ &+ \frac{3}{4}(k_5 + k_6)(l_1 + l_2 + l_3)^2; \\ k_{41} &= k_{14} = \left(k_1 + \frac{k_2}{4} + \frac{k_3}{4}\right)(l_1 + l_3) + \\ &+ \left(k_4 + \frac{k_5}{4} + \frac{k_6}{4}\right)(l_1 + l_2 + l_3); \\ k_{42} &= k_{24} = \frac{\sqrt{3}}{4}(k_3 - k_2)(l_1 + l_3) + \\ &+ \frac{\sqrt{3}}{4}(k_6 - k_5)(l_1 + l_2 + l_3); \\ k_{43} &= k_{34} = \frac{\sqrt{3}}{4}(k_3 - k_2)(l_1 + l_3)^2 + \\ &+ \frac{\sqrt{3}}{4}(k_6 - k_5)(l_1 + l_2 + l_3)^2; \\ k_{44} &= \left(k_1 + \frac{k_2}{4} + \frac{k_3}{4}\right)(l_1 + l_3)^2 + \\ &+ \left(k_4 + \frac{k_5}{4} + \frac{k_6}{4}\right)(l_1 + l_2 + l_3)^2. \end{aligned}$$

Аналогично, для получения глобальной матрицы инерции  $[M]$  сначала надо составить матричное уравнение для точки  $O$ , где расположена сосредоточенная масса. Это уравнение связывает силы  $F_{mx}$ ,  $F_{my}$  и моменты  $M_{mx}$ ,  $M_{my}$  с линейными  $\ddot{u}_x$ ,  $\ddot{u}_y$  и угловыми  $\ddot{\varphi}_x$ ,  $\ddot{\varphi}_y$  ускорениями:

$$\begin{bmatrix} F_{mx} \\ F_{my} \\ M_{mx} \\ M_{my} \end{bmatrix} = \underbrace{\begin{bmatrix} m & 0 & 0 & 0 \\ 0 & m & 0 & 0 \\ 0 & 0 & I_x & 0 \\ 0 & 0 & 0 & I_y \end{bmatrix}}_{[M^*]} \begin{bmatrix} \ddot{u}_x \\ \ddot{u}_y \\ \ddot{\varphi}_x \\ \ddot{\varphi}_y \end{bmatrix}, \quad (5)$$

где  $[M^*]$  — глобальная матрица масс в координатах  $xu$  точки  $O$ .

Чтобы в уравнениях (2) и (3) перейти в координаты точки  $O_3$ , следует составить матричное уравнение, связывающее силы инерции точек  $O$  и  $O_3$ :

$$\begin{bmatrix} F_{mx} \\ F_{my} \\ M_{mx} \\ M_{my} \end{bmatrix} = \underbrace{\begin{bmatrix} 1 & 0 & 0 & 0 \\ 0 & 1 & 0 & 0 \\ 0 & l_3 & 1 & 0 \\ l_3 & 0 & 0 & 1 \end{bmatrix}}_{[T_m]^T} \begin{bmatrix} F_{mx3} \\ F_{my3} \\ M_{mx3} \\ M_{my3} \end{bmatrix}, \quad (6)$$

где  $[T_m]$  — матрица преобразования для сил инерции.

Также надо составить уравнение связи ускорений точек  $O$  и  $O_3$ :

$$\begin{bmatrix} \ddot{u}_x \\ \ddot{u}_y \\ \ddot{\phi}_x \\ \ddot{\phi}_y \end{bmatrix} = \underbrace{\begin{bmatrix} 1 & 0 & 0 & l_3 \\ 0 & 1 & l_3 & 0 \\ 0 & 0 & 1 & 0 \\ 0 & 0 & 0 & 1 \end{bmatrix}}_{[T_m]} \begin{bmatrix} \ddot{u}_{x3} \\ \ddot{u}_{y3} \\ \ddot{\phi}_{x3} \\ \ddot{\phi}_{y3} \end{bmatrix}. \quad (7)$$

С учетом уравнений (5)–(7), глобальная матрица инерции принимает вид

$$[M] = [T_m]^T [M^*] [T_m] = \begin{bmatrix} m & 0 & 0 & l_3 m \\ 0 & m & l_3 m & 0 \\ 0 & l_3 m & I_x + l_3^2 m & 0 \\ l_3 m & 0 & 0 & I_y + l_3^2 m \end{bmatrix}.$$

Матрицы  $[M]$  и  $[K]$  симметричны относительно своих главных диагоналей.

**Решение задачи о собственных значениях и построение амплитудно-частотной характеристики (АЧХ).** Имея глобальные матрицы жесткости  $[K]$  и инерции  $[M]$ , можно решать задачу о собственных значениях [7]. Решение задачи аналитическими методами слишком трудоемко, поэтому будем использовать численные методы.

Для выполнения расчетов используем интерактивную среду JupyterLab [8]. Код на языке Python 3.10 [9]. Основные операции по обработке матриц будут выполняться с помощью библиотеки NumPy [10], а построение графиков — с помощью библиотеки Matplotlib [11].

Исходные данные [3]:

- сосредоточенная масса вала  $m = 86$  кг;
- момент инерции вала вокруг оси  $x$   $I_x = 3,4$  кг·м<sup>2</sup>;
- момент инерции вала вокруг оси  $y$   $I_y = I_x$ ;
- жесткость пружины  $k = 2,1 \cdot 10^9$  Н/м;
- коэффициент демпфирования  $c = 1,85 \times 10^5$  Н·с/м;
- длина  $l_1 = 0,01$  м;
- длина  $l_2 = 0,37$  м;
- длина  $l_3 = 0,18$  м;
- относительный коэффициент демпфирования  $\xi = 0,05$ .

Если жесткости всех пружин равны ( $k_1 = k_2 = k_3 = k_4 = k_5 = k_6 = k$ ), имеем следующие собственные частоты  $f_i$ , Гц:

- 805,112933;
- 805,112933;
- 2144,40620;
- 2144,40620.

Получили две пары собственных частот: 805 и 2144 Гц. Следует отметить, что эти частоты не просто близки по значению, а совпадают с высокой точностью (не менее пяти знаков после запятой).

Собственные векторы, соответствующие найденным собственным частотам:

- $[-0,4325 \quad 0 \quad 2,04 \cdot 10^{-16} \quad 0,90163]^T$ ;
- $[-4,8025 \cdot 10^{-2} \quad 0 \quad 2,27 \cdot 10^{-16} \quad 0,99885]^T$ ;
- $[-0,0217 \quad 0,0428 \quad -0,8909 \quad 0,45147]^T$ ;
- $[-0,0174 \quad -0,4321 \quad 0,9009 \quad 0,0363]^T$ .

Построим АЧХ для данного случая. АЧХ представляет собой графическую зависимость модальной податливости  $h_{pq}$  от частоты  $f$ . Здесь  $p$  — индекс координаты реакции;  $q$  — индекс координаты входного воздействия. Применительно к трехмерной модели:  $x \rightarrow 1$ ,  $y \rightarrow 2$ ,  $z \rightarrow 3$ ,  $\alpha \rightarrow 4$ ,  $\beta \rightarrow 5$ ,  $\gamma \rightarrow 6$ , где  $\alpha$ ,  $\beta$  и  $\gamma$  — угловые координаты: углы поворота вокруг оси  $x$ ,  $y$  и  $z$  соответственно.

Податливость в общем понимании этого термина есть отношение упругого смещения к вызвавшей его силе. Модальная податливость — отношение реакции (линейное или угловое перемещение) к величине вызвавшего ее воздействия (силе или моменту).

Модальная податливость определяется выражением [4]

$$h_{pq}(f) = \frac{X_p}{F_q} = \sum_{k=1}^n \frac{\Phi_{pk} \Phi_{qk}}{\omega_{ok}^2 \left[ 1 - \left( \frac{f}{f_{ok}} \right)^2 + 2j\xi_k \left( \frac{f}{f_{ok}} \right) \right]}, \quad (8)$$

где  $X_p$  — реакция (линейное или угловое перемещение) по координате  $p$ ;  $F_q$  — воздействие (сила или момент) по координате  $q$ ;  $\Phi_{pk}$  — значение  $p$ -й строки и  $k$ -го столбца нормированной модальной матрицы;  $\Phi_{qk}$  — значение  $q$ -й строки и  $k$ -го столбца нормированной модальной матрицы;  $\omega_{ok}$  —  $k$ -я круговая собственная частота;  $f$  — частота, для которой определяем модальную податливость;  $f_{ok}$  —  $k$ -я собственная частота,  $k=1, \dots, n$  ( $n$  — число степеней свободы рассматриваемой системы);  $j$  — мнимая единица;  $\xi_k$  — модальный коэф-

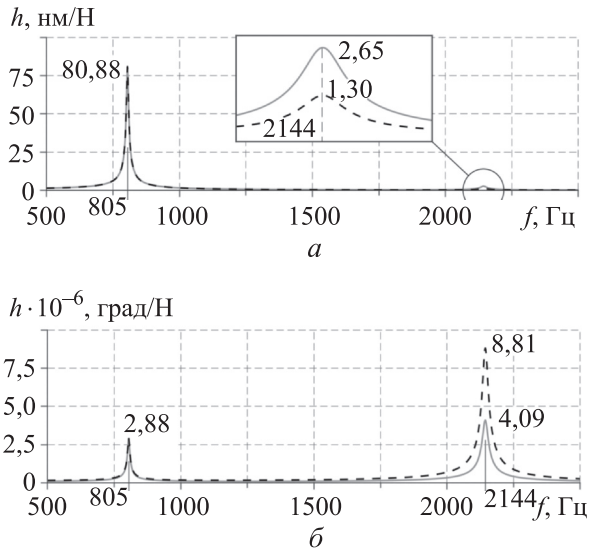


Рис. 3. АЧХ ротора при отсутствии асимметрии жесткости ( $k_1 = k_2 = k_3 = k_4 = k_5 = k_6 = k$ ) в линейных (а) и угловых (б) координатах

коэффициент демпфирования для  $k$ -го значения собственной частоты  $f_{ok}$ .

При наличии экспериментальных значений коэффициентов демпфирования  $\xi_k$  их можно подставить в уравнение (8).

АЧХ ротора для данного случая показаны на рис. 3, где  $h$  — модальная податливость. Согласно рис. 3, на частотах 805 и 2144 Гц имеются пары совпадающих пиков, и стороннему наблюдателю будет казаться, что в спектре есть только два пика. Динамическое усилие прикладывается на торце вала по некоторой линейной или угловой координате. Максимальное смещение, вызванное этой нагрузкой, снимается в той же точке вала по той же координате.

На рис. 3, а сплошные линии соответствуют приложению усилия и считыванию смещения вдоль оси  $y$ , штриховые — вдоль оси  $z$ . На рис. 3, б сплошные линии соответствуют приложению усилия и считыванию углового смещения вдоль координаты  $\beta$ , штриховые — вдоль координаты  $\gamma$ .

**Влияние асимметрии жесткости опор вала на расщепление частот на спектре и высоту пиков АЧХ.** Определим, как увеличение степени асимметрии жесткости опор вала влияет на собственные частоты и высоту пиков. Пусть  $\psi = k_{x\text{оп}}/k_{y\text{оп}}$ , где  $k_{x\text{оп}}$  и  $k_{y\text{оп}}$  — жесткость опоры вала по вертикали и горизонтали соответственно. Жесткости пружины, наклоненной

под углом  $\varphi$  к оси  $x$ , вдоль координатных осей  $x$  и  $y$  определяются следующим образом:

$$k_x = k \cos^2 \varphi; \quad k_y = k \sin^2 \varphi.$$

Квадрат у косинуса обусловлен тем, что один косинус есть результат проекции силы растяжения-сжатия пружины на ось  $x$ , а другой — результат проекции изменения длины пружины на ось  $x$ . Аналогичным образом получается квадрат синуса.

Жесткость опоры до введения асимметрии ( $k_1 = k_2 = k_3 = k$ ):

- вдоль оси  $x$

$$k_{x\text{оп}} = k \cos^2 0^\circ + k \cos^2 120^\circ + k \cos^2 240^\circ = 1,5k;$$

- вдоль оси  $y$

$$k_{y\text{оп}} = k \sin^2 0^\circ + k \sin^2 120^\circ + k \sin^2 240^\circ = 1,5k.$$

Таким образом, для обеспечения асимметрии жесткости опор вала  $\psi$  к жесткости горизонтальных пружин  $k_1$  и  $k_4$  необходимо добавить жесткость  $1,5k(1-\psi)$ .

Пусть значения асимметрии жесткости опор вала  $\psi = [1,0 \ 1,1 \ 1,2 \ 1,3 \ 1,4 \ 1,5]$ . Подставив для каждого случая жесткости в глобальную матрицу жесткости и решив задачу о собственных значениях, получим АЧХ для различных значений асимметрии жесткости опор  $\psi$  (рис. 4). На графиках в линейных координатах (слева) сплошные линии соответствуют приложению усилия и считыванию смещения на переднем конце вала вдоль оси  $y$ , штриховые — вдоль оси  $z$ . На графиках в угловых координатах (справа) сплошные линии соответствуют приложению усилия и считыванию углового смещения на переднем конце вала вдоль координаты  $\beta$ , штриховые — вдоль координаты  $\gamma$ .

Согласно полученному графику, с ростом асимметрии жесткости опор вала происходит расщепление пиков и их отдаление друг от друга, при этом высота пиков постепенно уменьшается. Значение расщепления частоты линейно зависит от степени асимметрии  $\psi$ .

**Влияние угла наклона силы на АЧХ.** Пусть сила  $F$  поворачивается на некоторый угол  $\varphi$ , как показано на рис. 5.

Модальная податливость  $h_{11}$  (воздействие подается по оси  $x$ , реакция снимается по оси  $x$ ) есть отношение реакции  $x$  к динамическому усилию  $F_x$ :  $h_{11} = x/F_x$ . Когда сила  $F$  наклонена на угол  $\varphi$  относительно оси  $x$ , то динамиче-



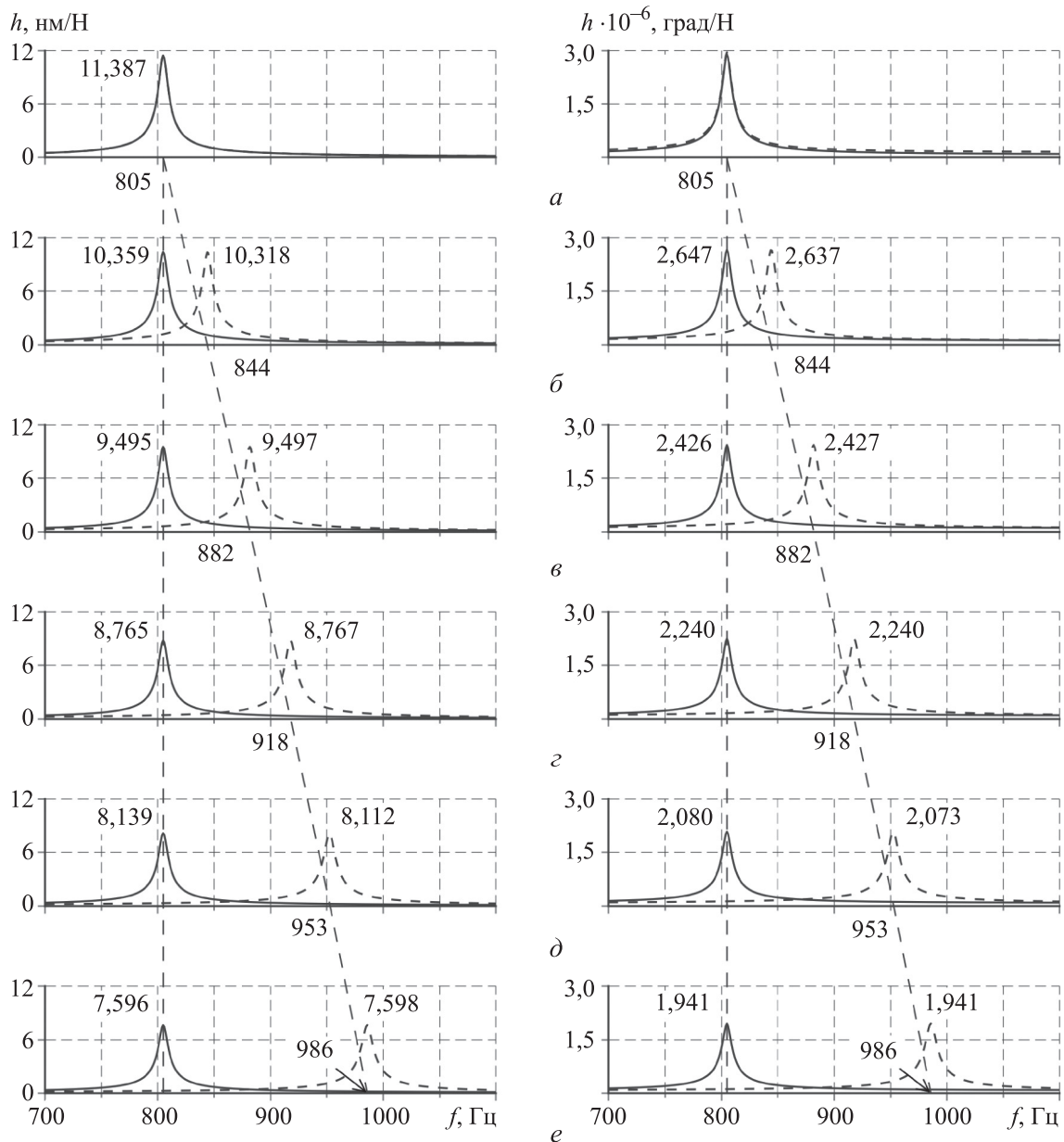


Рис. 4. Расщепление частоты с ростом асимметрии жесткости опор вала в линейных (слева) и угловых (справа) координатах при различных значениях степени асимметрии жесткости опор вала:  
 а —  $\psi = 0\%$ ; б —  $\psi = 10\%$ ; в —  $\psi = 20\%$ ;  
 г —  $\psi = 30\%$ ; д —  $\psi = 40\%$ ; е —  $\psi = 50\%$

ское воздействие вдоль оси  $x$  составит  $F \cos \varphi$ . Тогда модальная податливость с учетом угла поворота  $\varphi$   $h_{11\varphi} = h_{11} \cos \varphi$ . Рассуждая аналогично, для оси  $y$  получаем, что  $h_{22\varphi} = h_{22} \sin \varphi$ .

Таким образом, поворот вектора силы  $F$  вокруг оси вала влияет только на высоту пиков на графике АЧХ и не приводит к смещению частот на спектре. Изменение высоты пиков АЧХ показано на рис. 6. Собственная частота для всех значений угла поворота  $\varphi$  составляла 805 Гц. На рис. 6 серые линии соот-

ветствуют приложению усилия и смещению на переднем конце вала вдоль оси  $y$ , черные — вдоль оси  $z$ .

**Влияние угла поворота опор вала на АЧХ.** При повороте опоры углы наклона пружин становятся отличными от 0, 120 и 240°. В этом случае следует заново определить проекции сил упругих реакций отдельных пружин на оси  $x$  и  $y$ . Глобальная матрица жесткости  $[K_\varphi]$  в функции угла поворота  $\varphi$  имеет вид

$$[K_\varphi] = [T_k]^T = \begin{bmatrix} k_{11} & k_{12} & 0 & 0 \\ k_{21} & k_{22} & 0 & 0 \\ 0 & 0 & k_{33} & k_{34} \\ 0 & 0 & k_{43} & k_{44} \end{bmatrix} [T_k],$$

где

$$k_{11} = k_1 \cos^2 \varphi + k_2 \sin^2 \left( \varphi + \frac{\pi}{6} \right) + k_3 \cos^2 \left( \varphi + \frac{\pi}{3} \right);$$

$$k_{12} = k_1 \sin \varphi \cos \varphi - k_2 \sin \left( \varphi + \frac{\pi}{6} \right) \cos \left( \varphi + \frac{\pi}{6} \right) + k_3 \sin \left( \varphi + \frac{\pi}{3} \right) \cos \left( \varphi + \frac{\pi}{3} \right);$$

$$k_{21} = k_{12};$$

$$k_{22} = k_1 \sin^2 \varphi + k_2 \cos^2 \left( \varphi + \frac{\pi}{6} \right) + k_3 \sin^2 \left( \varphi + \frac{\pi}{3} \right);$$

$$k_{33} = k_4 \cos^2 \varphi + k_5 \sin^2 \left( \varphi + \frac{\pi}{6} \right) + k_6 \cos^2 \left( \varphi + \frac{\pi}{3} \right);$$

$$k_{34} = k_4 \sin \varphi \cos \varphi - k_5 \sin \left( \varphi + \frac{\pi}{6} \right) \cos \left( \varphi + \frac{\pi}{6} \right) + k_6 \sin \left( \varphi + \frac{\pi}{3} \right) \cos \left( \varphi + \frac{\pi}{3} \right);$$

$$k_{43} = k_{34};$$

$$k_{44} = k_5 \sin^2 \varphi + k_6 \cos^2 \left( \varphi + \frac{\pi}{6} \right) + k_7 \sin^2 \left( \varphi + \frac{\pi}{3} \right).$$

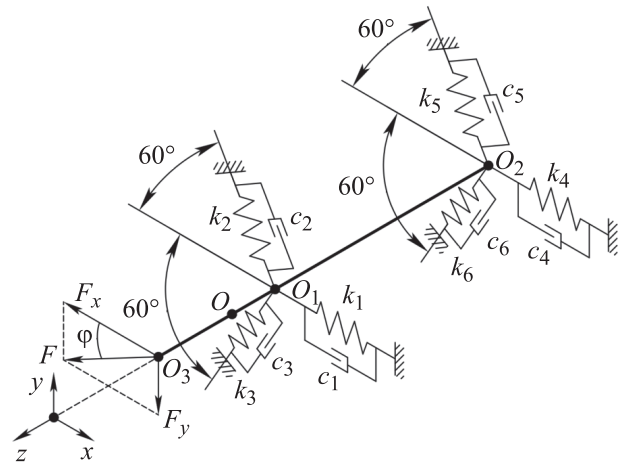


Рис. 5. Схема поворота силы  $F$  вокруг оси  $z$

АЧХ ротора при угле их поворота  $\varphi = 0, 15, 30, 45, 60, 75, 90, 105$  и  $120^\circ$  в линейных и угловых координатах приведены на рис. 7. На графиках в линейных координатах (слева) сплошные линии соответствуют приложению усилия и смещению на переднем конце вала вдоль оси  $y$ , штриховые — вдоль оси  $z$ . В угловых координатах (справа) сплошные линии соответствуют приложению усилия и смещению на переднем конце вала вдоль координаты  $\beta$ , штриховые — вдоль координаты  $\gamma$ . Согласно полученным графикам, поворот опоры не при-

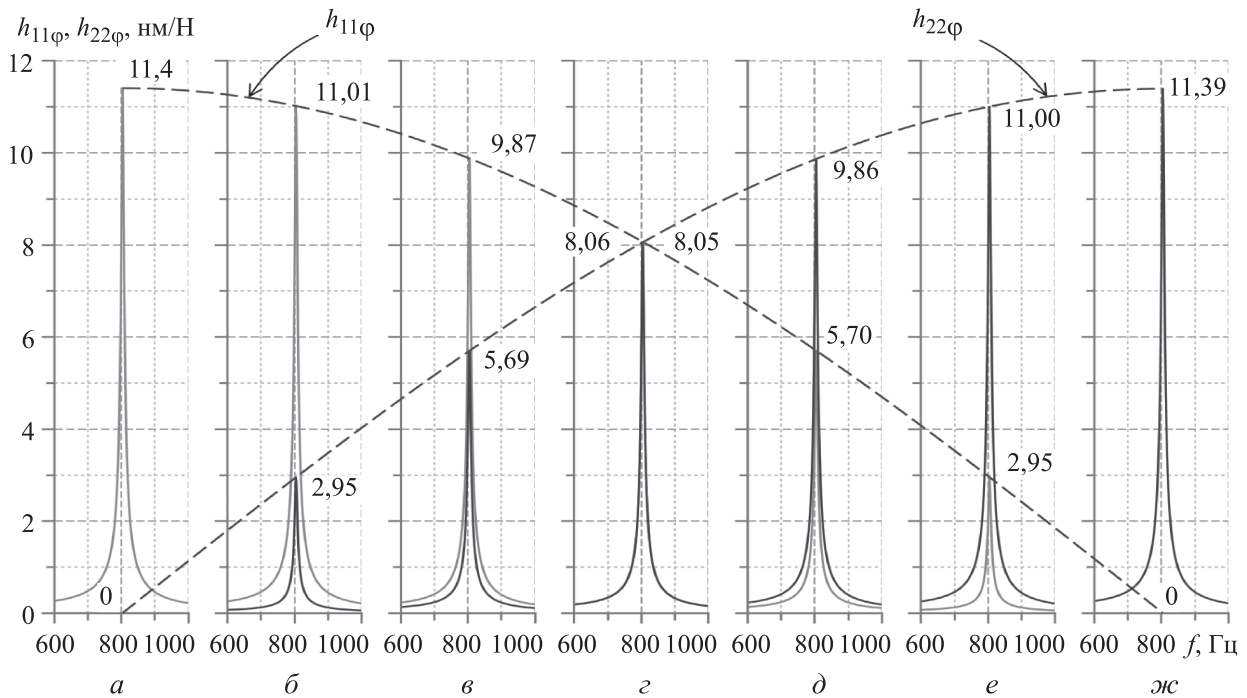


Рис. 6. Изменение высоты пиков АЧХ ротора с ростом угла его поворота: а —  $\varphi = 0^\circ$ ; б —  $\varphi = 15^\circ$ ; в —  $\varphi = 30^\circ$ ; г —  $\varphi = 45^\circ$ ; д —  $\varphi = 60^\circ$ ; е —  $\varphi = 75^\circ$ ; ж —  $\varphi = 90^\circ$



водит к смещению собственных частот на спектре, а только вызывает колебания высот пиков от нуля до их максимальных значений.

Диагностическая модель построена для шпинделя шлифовального станка на гидростатических опорах, но такой способ можно при-

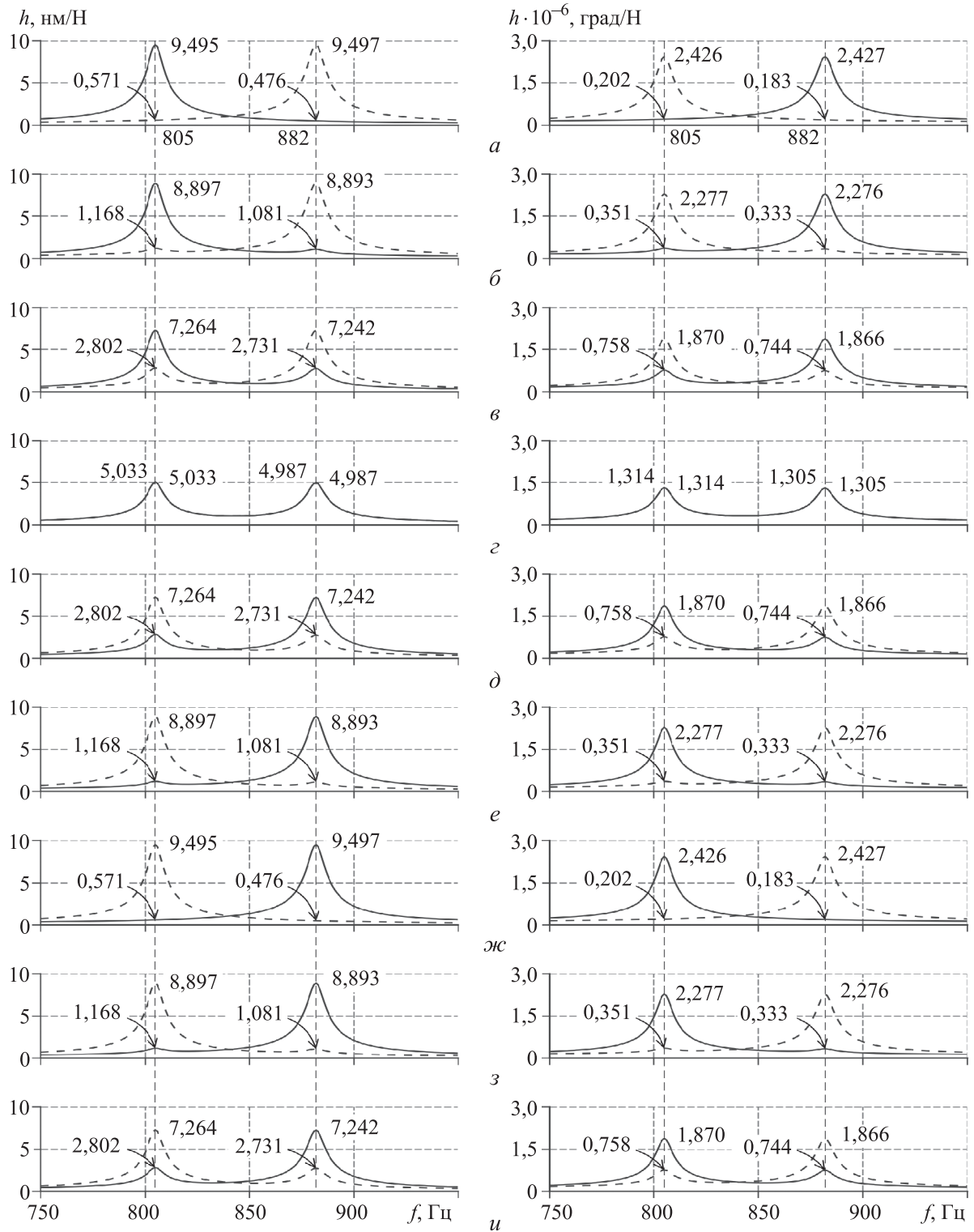


Рис. 7. Изменение АЧХ ротора в линейных (слева) и угловых (справа) координатах при асимметрии жесткости  $\Psi = 50\%$  и различных значениях угла поворота опор:  
 а —  $\varphi = 0^\circ$ ; б —  $\varphi = 15^\circ$ ; в —  $\varphi = 30^\circ$ ; з —  $\varphi = 45^\circ$ ; д —  $\varphi = 60^\circ$ ;  
 е —  $\varphi = 75^\circ$ ; ж —  $\varphi = 90^\circ$ ; з —  $\varphi = 105^\circ$ ; и —  $\varphi = 120^\circ$

менять и для моделирования динамики шпиндельных узлов металлорежущих станков другого типа, в том числе на опорах качения.

## Выводы

1. Получена диагностическая модель, позволяющая выявлять такие явления, как расщепление собственных частот и зависимость АЧХ ротора от угла ее поворота.

2. Установлено, что необходимым условием адекватного моделирования роторов в процессе диагностирования является использование трехмерной модели опор, т. е. двух взаимно перпендикулярных пружин в каждой опоре.

3. Несмотря на простоту, полученная модель позволяет решать практические задачи диагностирования роторов, включая учет влияния асимметрии жесткости и предварительного натяга опор на динамические свойства шпинделей.

## Литература

- [1] Хомяков В.С., Кочинев Н.А., Сабиров Ф.С. Моделирование и расчет динамических характеристик шпиндельных узлов. *Вестник УГАТУ*, 2009, т. 12, № 2, с. 69–75.
- [2] Сабиров Ф.С., Боган А.Н., Михайлов И.С. Динамические характеристики шпиндельных узлов партии токарных станков с ЧПУ. *Станкостроение и инновационное машиностроение. Проблемы и точки роста*. Уфа, УГАТУ, 2020, с. 164–168.
- [3] Рагульскис К.М., ред. *Автоматизированный расчет колебаний машин*. Ленинград, Машиностроение, 1988. 100 с.
- [4] Досько С.И. *Параметрическая идентификация упругих систем станков (модальный анализ)*. Дисс. ... канд. тех. наук. Москва, Мосстанкин, 1987. 242 с.
- [5] Хомяков В.С., Досько С.И. Об учете демпфирования при динамических расчетах станков. *Станки и инструмент*, 1990, № 11, с. 4–7.
- [6] Хомяков В.С., Досько С.И., Лю Ц. Идентификация упругих систем станков на основе модального анализа. *Станки и инструмент*, 1988, № 7, с. 11–14.
- [7] Фаддеев Д.К., Фаддеева В.Н. *Вычислительные методы линейной алгебры*. Москва, Физматгиз, 1960. 656 с.
- [8] *JupyterLab: a next-generation notebook interface*. URL: <https://jupyter.org/> (дата обращения: 05.05.2022).
- [9] *Python: a programming language*. URL: <https://www.python.org/> (дата обращения: 05.05.2022).
- [10] Harris C.R., Millman K.J., van der Walt S.J. et al. Array programming with NumPy. *Nature*, 2020, vol. 585, pp. 357–362, doi: <https://doi.org/10.1038/s41586-020-2649-2>
- [11] Hunter J.D. Matplotlib: a 2D graphics environment. *Comput. Sci. Eng.*, 2007, vol. 9, no. 3, pp. 90–95, doi: <https://doi.org/10.1109/MCSE.2007.55>

## References

- [1] Khomyakov V.S., Kochinev N.A., Sabirov F.S. The modeling and calculation of dynamics of spindle assemblies. *Vestnik UGATU*, 2009, vol. 12, no. 2, pp. 69–75. (In Russ.).
- [2] Sabirov F.S., Bogan A.N., Mikhaylov I.S. [Dynamic characteristics of spindle units of CNC lathes batch]. *Stankostroenie i innovatsionnoe mashinostroenie. Problemy i tochki rosta* [Machine-tool building and innovative machine building. Problems and growth points]. Ufa, UGATU Publ., 2020, pp. 164–168. (In Russ.).
- [3] Ragul'skis K.M., ed. *Avtomatizirovannyi raschet kolebaniy mashin* [Automated calculation of machines oscillations]. Leningrad, Mashinostroenie Publ., 1988. 100 p. (In Russ.).
- [4] Dos'ko S.I. *Parametricheskaya identifikatsiya uprugikh sistem stankov (modal'nyy analiz)*. Diss. kand. tekhn. nauk [Parametric identification of machines elastic systems (modal analysis)]. Kand. tech. sci. diss.]. Moscow, Mosstankin Publ., 1987. 242 p. (In Russ.).
- [5] Khomyakov V.S., Dos'ko S.I. On taking into account damping property in dynamic computation of machines. *Stanki i instrument*, 1990, no. 11, pp. 4–7. (In Russ.).
- [6] Khomyakov V.S., Dos'ko S.I., Lyu Ts. Identification of elastic machine systems based on modal analysis. *Stanki i instrument*, 1988, no. 7, pp. 11–14. (In Russ.).

- [7] Faddeev D.K., Faddeeva V.N. *Vychislitel'nye metody lineynoy algebry* [Computational methods of linear algebra]. Moscow, Fizmatgiz Publ., 1960. 656 p. (In Russ.).
- [8] *JupyterLab: a next-generation notebook interface*. URL: <https://jupyter.org/> (accessed: 05.05.2022).
- [9] *Python: a programming language*. URL <https://www.python.org/> (accessed: 05.05.2022).
- [10] Harris C.R., Millman K.J., van der Walt S.J. et al. Array programming with NumPy. *Nature*, 2020, vol. 585, pp. 357–362, doi: <https://doi.org/10.1038/s41586-020-2649-2>
- [11] Hunter J.D. Matplotlib: a 2D graphics environment. *Comput. Sci. Eng.*, 2007, vol. 9, no. 3, pp. 90–95, doi: <https://doi.org/10.1109/MCSE.2007.55>

Статья поступила в редакцию 14.06.2022

## Информация об авторе

**ШИРШОВ Андрей Геннадьевич** — инженер кафедры «Металлорежущие станки». МГТУ им. Н.Э. Баумана (105005, Москва, Российская Федерация, 2-я Бауманская ул. д. 5, к. 1, e-mail: [sh.andr.gen@yandex.ru](mailto:sh.andr.gen@yandex.ru)).

## Information about the author

**Shirshov Andrey Gennadievich** — Engineer, Department of Machine Tools. Bauman Moscow State Technical University (105005, Moscow, Russian Federation, 2<sup>nd</sup> Baumanskaya St., Bldg. 5, Block 1, e-mail: [sh.andr.gen@yandex.ru](mailto:sh.andr.gen@yandex.ru)).

### Просьба ссылаться на эту статью следующим образом:

Ширшов А.Г. Динамическая диагностическая 3D-модель шпинделя шлифовального станка. Гибридный способ моделирования. *Известия высших учебных заведений. Машиностроение*, 2022, № 9, с. 43–53, doi: 10.18698/0536-1044-2022-9-43-53

### Please cite this article in English as:

Shirshov A.G. Dynamic Diagnostic 3D Simulation of a Grinding Machine Spindle. Hybrid Simulation Method. *BMSTU Journal of Mechanical Engineering*, 2022, no. 9, pp. 43–53, doi: 10.18698/0536-1044-2022-9-43-53



## Издательство МГТУ им. Н.Э. Баумана предлагает читателям учебник «Инженерная графика»

**Авторы: Л.С. Сенченкова, Н.В. Палий, А.Ю. Горячкина**

Учебник разработан в соответствии с ФГОС ВО по направлению подготовки 15.03.01 Машиностроение (уровень бакалавриата) и специалитета 15.05.01 Проектирование технологических машин и комплексов (уровень специалитета) и полностью соответствует рабочей программе дисциплины «Инженерная графика», читаемой в МГТУ им. Н. Э. Баумана.

Согласно стандартам Единой системы конструкторской документации (ЕСКД), представлены определения и правила, даны рекомендации по выбору изображений деталей, изложены правила нанесения размеров. Показана последовательность выполнения изображений сборочной единицы с натуры, приведены правила составления спецификации и выполнения чертежей деталей по чертежу сборочной единицы, а также основные правила классификации и обозначения изделий в конструкторских документах. Рассмотрены особенности составления чертежей отдельных видов изделий.

Для студентов, изучающих дисциплину «Инженерная графика» в высших учебных заведениях.

### По вопросам приобретения обращайтесь:

105005, Москва, 2-я Бауманская ул., д. 5, к. 1.  
Тел.: +7 499 263-60-45, факс: +7 499 261-45-97;  
[press@baumanpress.ru](mailto:press@baumanpress.ru); <https://bmstu.press>